

EFFECTIVE FIELD THEORIES APPLIED TO STUDIES OF HADRON PHYSICS

KANCHAN P. KHEMCHANDANI
UNIVERSIDADE FEDERAL DE SÃO PAULO

Dec 9, 2021

VII OFICINA NACIONAL DE TEORIA QUÂNTICA DE CAMPOS
Encontro Virtual, Universidade Federal da Bahia, Brazil

EFFECTIVE FIELD THEORIES AND HADRON PHYSICS

- Embora a teoria de QCD é muito bem sucedida nas altas energias, ela é não perturbativa nas energias relevantes à física de hadrons.
- Uma alternativa para estudar as interações entre hadrons é considerar a teoria de campos efetivo com graus de liberdade sendo os hadrons (ao em vez de quarks).
- Tipicamente: Considerar Lagrangianas baseadas nas simetrias de QCD relevantes a um dado sistema.

FÍSICA DE HÁDRONS:

- Informações importantes trazidas pelos estudos de hadrons:
- Formulação do modelo de quarks
- Foi o estudo de Δ^{++} que trouxe a primeira indicação de existência do número quântico de cor.
- O estudo do J/ψ nos levou à descoberta de quark charm

● Panorama atual:

PHYSICAL REVIEW LETTERS 122, 222001 (2019)

Editors' Suggestion Featured in Physics

PHYSICAL REVIEW LETTERS 125, 242001 (2020)

Model-Independent Study of Structure in $B^+ \rightarrow D^+ D^- K^+$ Decays

R. Aaij *et al.**
(LHCb Collaboration)

(Received 2 September 2020; accepted 7 October 2020; published 7 December 2020)

Observation of a Narrow Pentaquark
and of the Two-Peak Structure of

R. Aaij *et al.**
(LHCb Collaboration)

(Received 6 April 2019; published

EUROPEAN ORGANIZATION FOR NUCLEAR RESEARCH (CERN)

CERN-EP-2021-165
LHCb-PAPER-2021-031
September 2, 2021

LHCb

Observation of an exotic narrow
doubly charmed tetraquark

FÍSICA DE HÁDRONS:

PHYSICAL REVIEW D **102**, 112003 (2020)

Editors' Suggestion

Amplitude analysis of the $B^+ \rightarrow D^+ D^- K^+$ decay

R. Aaij *et al.**
(LHCb Collaboration)

- Nestes trabalhos observou-se um sinal de dois estados na massa invariante de $D^- K^+$ ($c\bar{d}$ $u\bar{s}$):

$X_0(2866) : M = 2866 \pm 7 \text{ MeV e } \Gamma = 57,2 \pm 12,9 \text{ MeV,}$

$X_1(2900) : M = 2904 \pm 5 \text{ MeV e } \Gamma = 110,3 \pm 11,5 \text{ MeV.}$

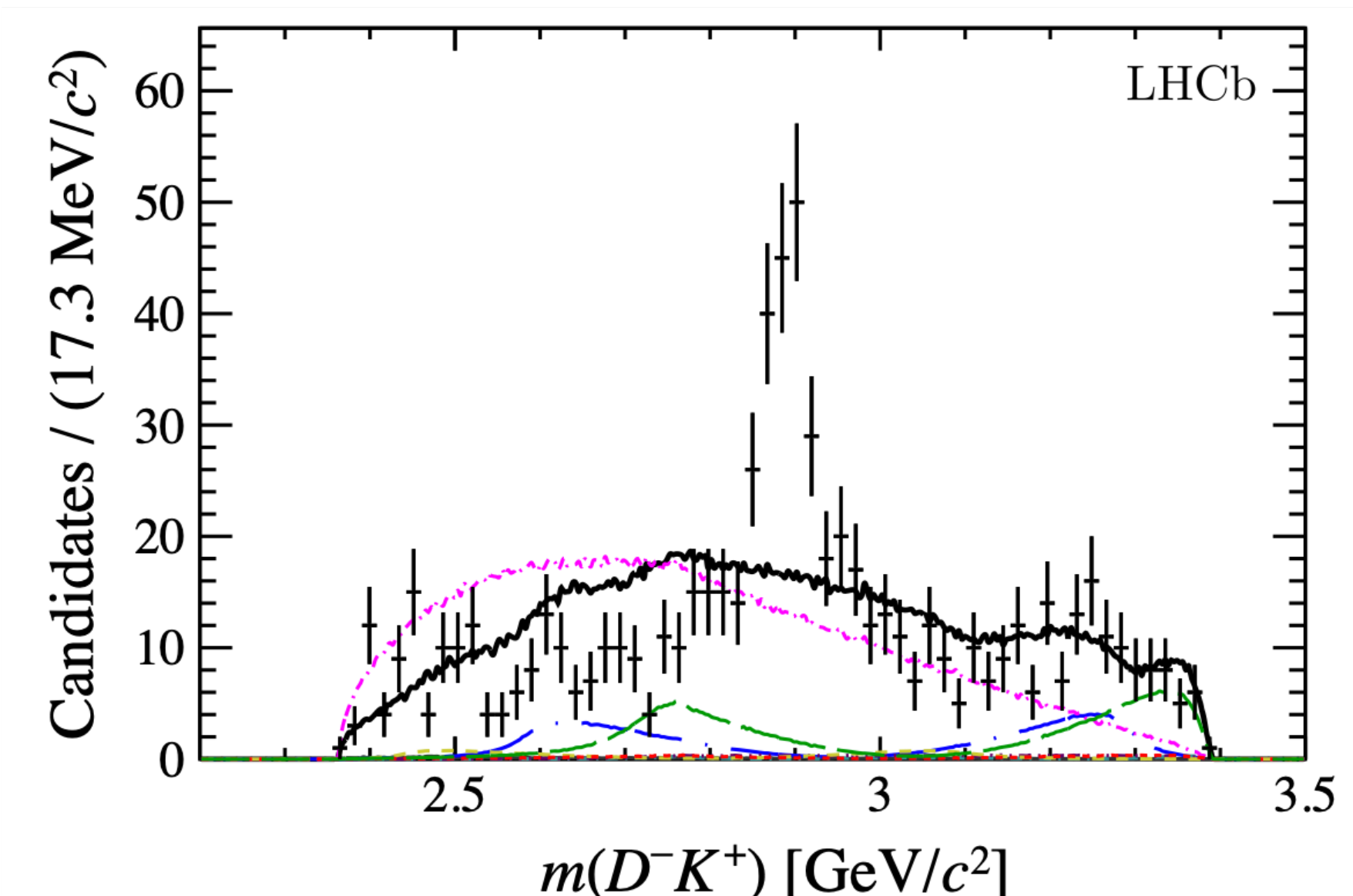
- Os estados claramente não são $q\bar{q}$!

PHYSICAL REVIEW LETTERS **125**, 242001 (2020)

Model-Independent Study of Structure in $B^+ \rightarrow D^+ D^- K^+$ Decays

R. Aaij *et al.**
(LHCb Collaboration)

● (Received 2 September 2020; accepted 7 October 2020; published 7 December 2020)



FÍSICA DE HÁDRONS:

EUROPEAN ORGANIZATION FOR NUCLEAR RESEARCH (CERN)



CERN-EP-2021-165
LHCb-PAPER-2021-031
September 2, 2021

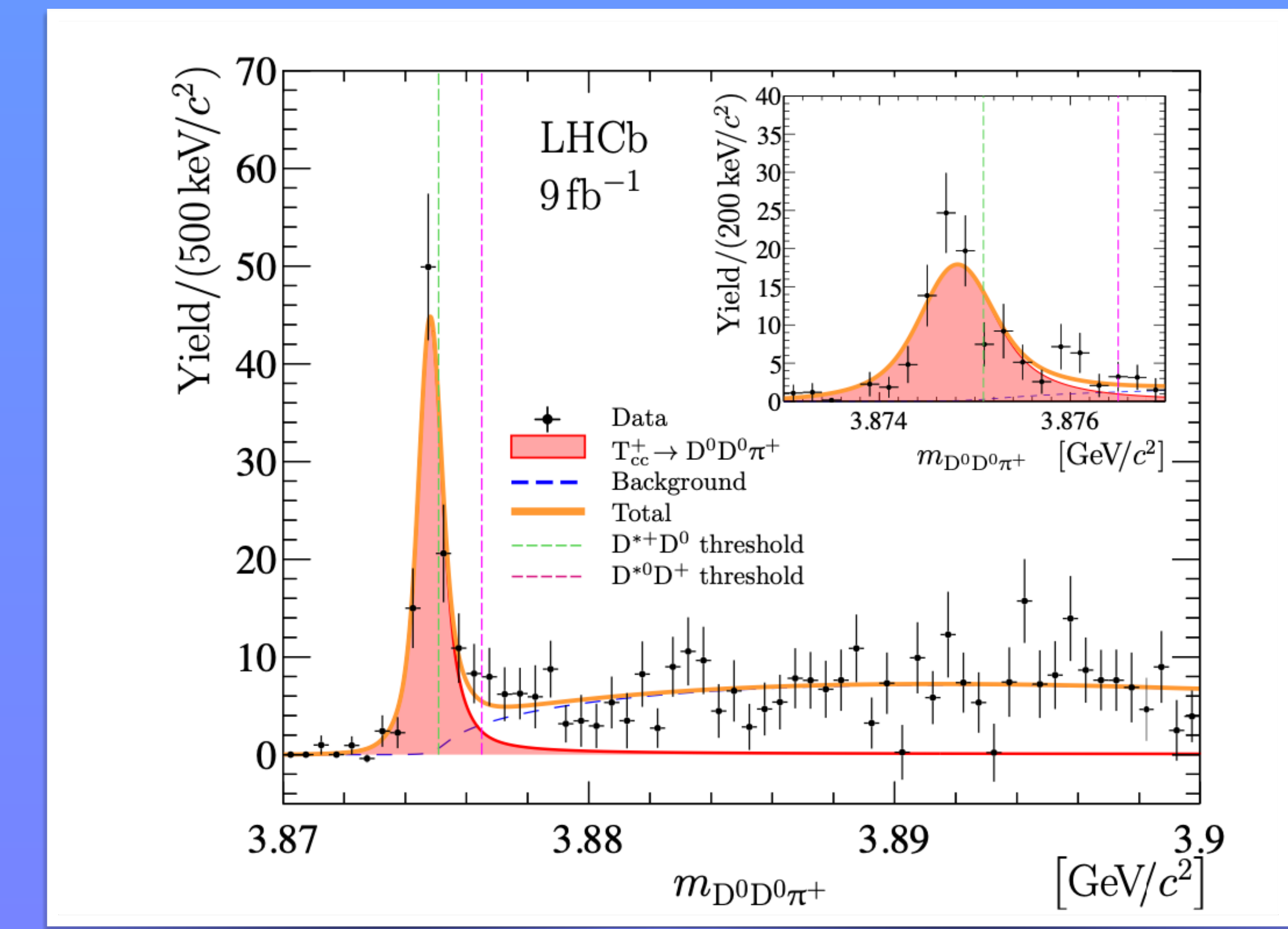
Observation of an exotic narrow doubly charmed tetraquark

- Nestes trabalhos observou-se um sinal de um estado na massa invariante de $D^{*0}D^+$ ($c\bar{d}$ $c\bar{u}$):

$M = 3875.09 \text{ MeV}$ com incerteza $\delta m_{exp} = -360 \pm 40^{+4}_{-0} \text{ keV}$,

$$\Gamma = 48 \pm 2^{+0}_{-14} \text{ keV.}$$

- Apenas possui decaimento fraco!



FÍSICA DE HÁDRONS:

PHYSICAL REVIEW LETTERS 122, 222001 (2019)

Editors' Suggestion | Featured in Physics

Observation of a Narrow Pentaquark State, $P_c(4312)^+$, and of the Two-Peak Structure of the $P_c(4450)^+$

R. Aaij *et al.**
(LHCb Collaboration)

(Received 6 April 2019; published 5 June 2019)

- Os estados P_c 's foram encontrados na massa invariante de $J/\psi p$, produzidos no processo $\Lambda_b^0 \rightarrow J/\psi p K^-$.



FÍSICA DE HÁDRONS:

- Desafios atuais:
- Determinar as propriedades de hadrons exóticos.
- Porque certas configurações mostram hadrons exóticos de um dado tipo?
- Hadrons exóticos existem somente quando há presença de quarks pesados?
- Qual impacto de existência de hadrons exóticos em colisões de íons pesados, em colisões nucleares, etc.?

FÍSICA DE HÁDRONS:

- Large Hadron Collider (beauty experiment), Suíça (eventos de decaimento de B). Colisões de pp, ou ions pesados.
- Experimento BES no laboratório BEPC (Beijing electron proton collider), china
- Belle, Laboratório KEK (Tsukuba) Japão (electron proton collider), J-PARC (acelerador de proton), Japão (também no KEK), LEPS (Laser electron photon experiment at Spring8)
- Forschungszentrum Jülich (Cooler synchrotron, feixe de Proton/deuteron), Mainz Microtron (photon beams)
- Jefferson lab (USA), feixe de elétrons, alvo núcleos
- (Novos experimentos) (1) \bar{P} anda (antiproton Annihilation at Darmstadt) (2) super-tau-charm factory (Novosibirsk).

ALGUNS DE NOSSOS TRABALHOS RECENTES:

Open Access

Decay processes of a pseudoscalar $D(2900)$

Brenda B. Malabarba, K. P. Khemchandani, and A. Martínez Torres
Phys. Rev. D **104**, 116002 – Published 3 December 2021

- Além das descoberta dos $X(2900)$, colaborações LHCb e BaBar tem trazido informações sobre mésons $D^{(*)}$ na faixa de 2.4-3.0 GeV.
- Estruturas com a maior massa conhecida até agora, em torno de 3000 MeV, foram observadas pela Colaboração LHCb [JHEP 09, 145 (2013), PRD 94, no.7, 072001 (2016)].
- LHCb reporta a descoberta de um sinal em torno de 3000 MeV nos espectros de massa de $D^{*+}\pi^-$, $D^+\pi^-$, $D^0\pi^+$. A estrutura encontrada no espectro $D^{*+}\pi^-$ é compatível com uma paridade não natural, enquanto o sinal nos espectros $D^+\pi^-$, $D^0\pi^+$ parece ser compatível com uma atribuição de paridade natural.

ALGUNS DE NOSSOS TRABALHOS RECENTES:

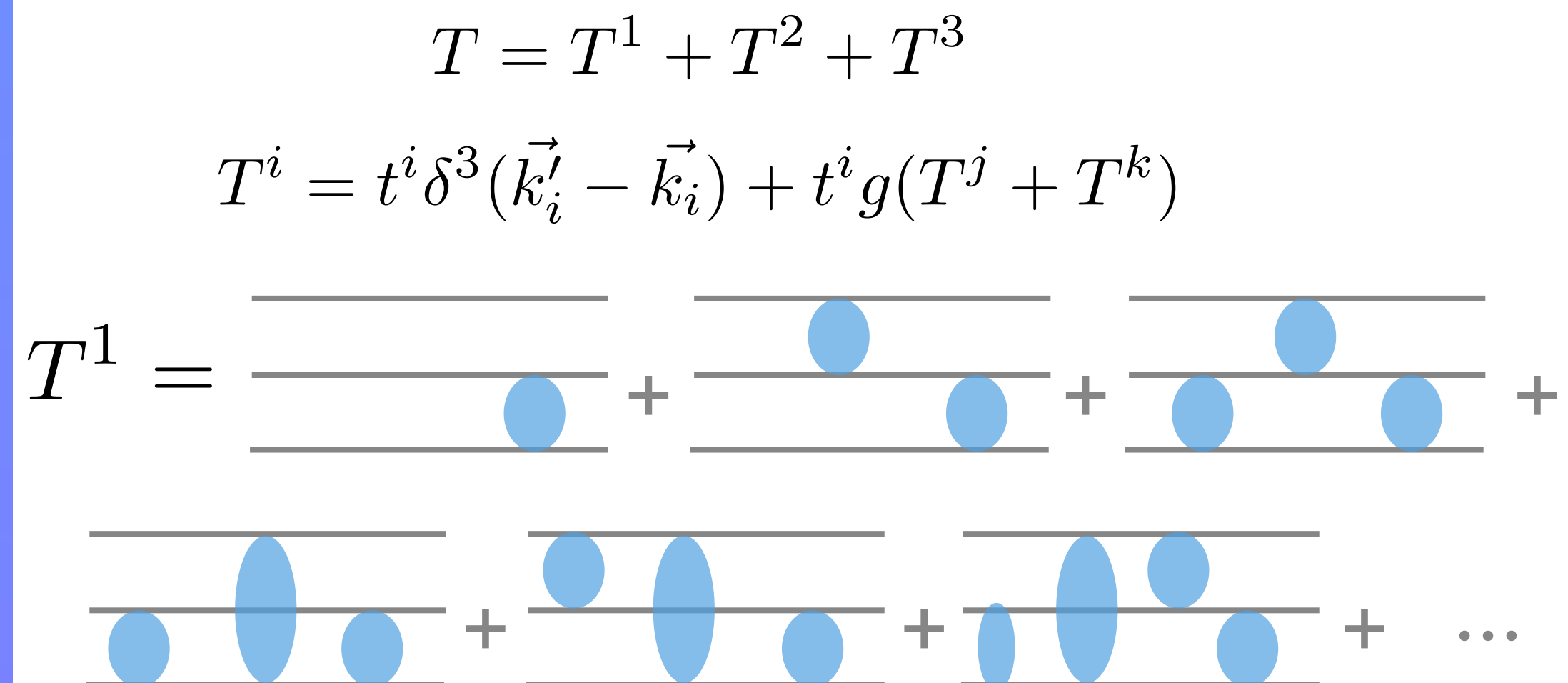
Open Access

Decay processes of a pseudoscalar $D(2900)$

Brenda B. Malabarba, K. P. Khemchandani, and A. Martínez Torres

Phys. Rev. D **104**, 116002 – Published 3 December 2021

- Em um trabalho anterior (**PRD 87, 034025**) estudamos o sistema $D\bar{K}\bar{K}$, resolvendo equações de espalhamento de Faddeev para: $D^0K^+K^-$, $D^0K^0\bar{K}^0$, $D^0\pi^+\pi^-$, $D^0\pi^-\pi^+$, $D^0\pi^0\pi^0$, $D^0\pi^0\eta$, $D^+K^0K^-$, $D^+\pi^-\pi^0$, $D^+\pi^-\eta$, $D^+\pi^0\pi^-$
- Para resolver calculamos as amplitudes de input usando Lagrangianas chiral e de ``heavy quark flavor, spin symmetry'' para sistemas envolvendo D e mésons leves respectivamente.

$$T = T^1 + T^2 + T^3$$
$$T^i = t^i \delta^3(\vec{k}'_i - \vec{k}_i) + t^i g(T^j + T^k)$$
$$T^1 = \begin{array}{c} \text{---} \\ \text{---} \\ \text{---} \end{array} + \begin{array}{c} \text{---} \\ \text{---} \\ \text{---} \end{array} + \begin{array}{c} \text{---} \\ \text{---} \\ \text{---} \end{array} +$$
$$\begin{array}{c} \text{---} \\ \text{---} \\ \text{---} \end{array} + \begin{array}{c} \text{---} \\ \text{---} \\ \text{---} \end{array} + \begin{array}{c} \text{---} \\ \text{---} \\ \text{---} \end{array} + \dots$$


ALGUNS DE NOSSOS TRABALHOS RECENTES:

● Lagrangiana chiral:

● Para sistemas de dois mésons:

$$\mathcal{L}_2 = \frac{1}{12f^2} \langle (\partial_\mu \Phi \Phi - \Phi \partial_\mu \Phi)^2 + M\Phi^4 \rangle$$

$$\Phi \equiv \frac{\lambda}{\sqrt{2}} \phi = \begin{pmatrix} \frac{1}{\sqrt{2}}\pi^0 + \frac{1}{\sqrt{6}}\eta_8 & \pi^+ & K^+ \\ \pi^- & -\frac{1}{\sqrt{2}}\pi^0 + \frac{1}{\sqrt{6}}\eta_8 & K^0 \\ K^- & \bar{K}^0 & -\frac{2}{\sqrt{6}}\eta_8 \end{pmatrix}$$

● Simetria de quarks pesados: $\mathcal{L} = D_\mu H D^\mu H^\dagger - M_H^2 H H^\dagger$

● onde $D_\mu H^\dagger = (\partial_\mu + \Gamma_\mu) H^\dagger$, $D_\mu H = H(\overleftarrow{\partial}_\mu + \Gamma_\mu^\dagger)$, $\Gamma_\mu = \frac{1}{2}(u^\dagger \partial_\mu u + u \partial_\mu u^\dagger)$, $u^2 = e^{i\sqrt{2}\phi/f}$

e $H = (D^0, D^+, D_s^+)$

ALGUNS DE NOSSOS TRABALHOS RECENTES:

Open Access

Decay processes of a pseudoscalar $D(2900)$

Brenda B. Malabarba, K. P. Khemchandani, and A. Martínez Torres
Phys. Rev. D **104**, 116002 – Published 3 December 2021

- Com as Lagrangianas resolvemos as equações de espalhamento de dois mésons que entram na equações de Faddeev como input.

- No trabalho anterior vimos a interação de três mésons gera um estado com massa em torno de 2900 MeV e largura ~ 60 MeV

- Motivados pelo interesse de grupos experimentais em explorar mésons com charm com massa próximo a 3000 MeV, estudamos agora as propriedades de decaimento do mesmo.

$$T = T^1 + T^2 + T^3$$
$$T^i = t^i \delta^3(\vec{k}'_i - \vec{k}_i) + t^i g(T^j + T^k)$$
$$T^1 = \text{Diagram showing } T^1 \text{ as a sum of three-particle scattering terms}$$

The diagram illustrates the Faddeev equation for T^1 . It shows a horizontal line representing a particle, with three blue ovals representing vertices where particles interact. The equation is written as $T^1 = \text{Diagram} + \text{Diagram} + \text{Diagram} + \dots$, where each diagram consists of a horizontal line with three blue ovals attached at different points along its length.

ALGUNS DE NOSSOS TRABALHOS RECENTES:

Open Access

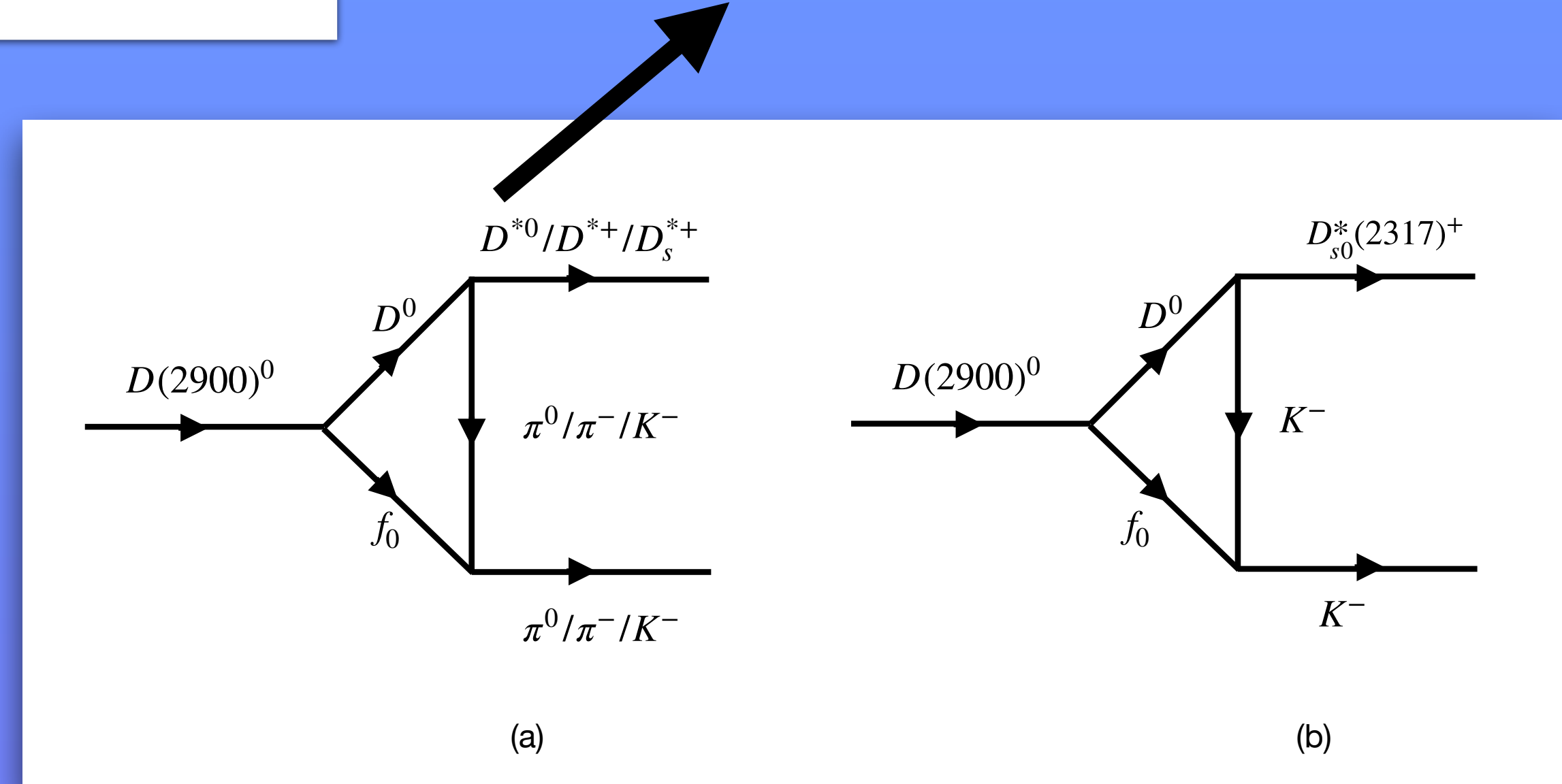
Decay processes of a pseudoscalar $D(2900)$

Brenda B. Malabarba, K. P. Khemchandani, and A. Martínez Torres
Phys. Rev. D **104**, 116002 – Published 3 December 2021

Amplitude

$$it_a = \int \frac{d^4 q}{(2\pi)^4} it_{D(2900)^0 \rightarrow D^0 f_0} it_{f^0 \rightarrow P_1 P_2} it_{VPP} \frac{i}{(k+q)^2 - m_D^2} \frac{i}{(P-k-q)^2 - m_{f_0}^2} \frac{i}{q^2 - m_{P_1}^2}$$
$$= - \int \frac{d^4 q}{(2\pi)^4} \frac{g_{D(2900)^0 \rightarrow D^0 f_0} g_{f^0 \rightarrow P_1 P_2}}{\left[(k+q)^2 - m_D^2\right] \left[(P-k-q)^2 - m_{f_0}^2\right] \left[q^2 - m_{P_1}^2\right]} [\mathcal{L}_{VPP} g_{VPP} \epsilon_\mu(k) (k^\mu + 2q^\mu)],$$

$$\mathcal{L}_{VPP} = -ig_{VPP} \langle V_\mu [P, \partial_\mu P] \rangle$$



Passarino Veltman reduction

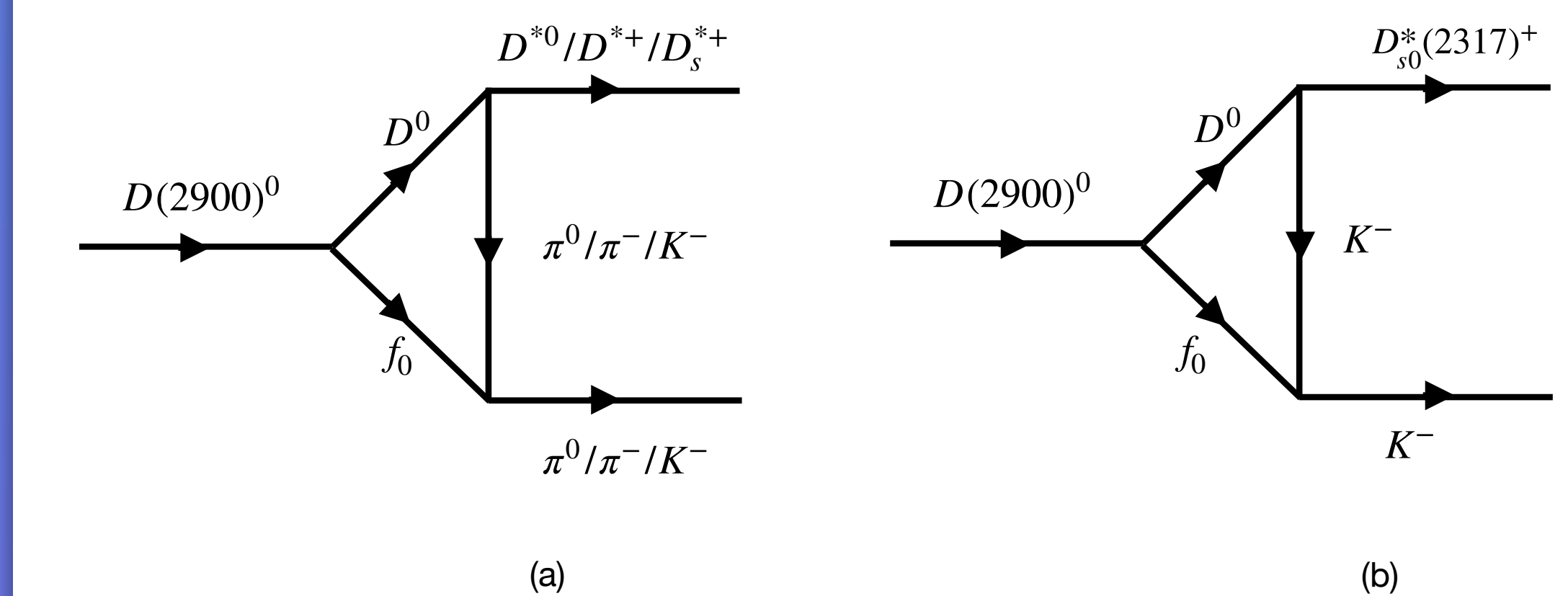
ALGUNS DE NOSSOS TRABALHOS RECENTES:

Open Access

Decay processes of a pseudoscalar $D(2900)$

Brenda B. Malabarba, K. P. Khemchandani, and A. Martínez Torres
Phys. Rev. D **104**, 116002 – Published 3 December 2021

Decay channel	Decay width (MeV)
$D^{*0}\pi^0$	0.18 ± 0.04
$D^{*+}\pi^-$	0.35 ± 0.07
$D_s^{*+}K^-$	0.44 ± 0.10
$D_{s0}^*(2317)^+K^-$	18.33 ± 7.25



ALGUNS DE NOSSOS TRABALHOS RECENTES:

PHYSICAL REVIEW D **103**, 016015 (2021)

Decay properties of $N^*(1895)$

K. P. Khemchandani,^{1,2,*} A. Martínez Torres,^{3,2,†} H. Nagahiro,^{4,2,‡} and A. Hosaka^{1,2,§}

¹*Universidade Federal de São Paulo, C.P. 01302-907, São Paulo, Brazil*

²*Research Center for Nuclear Physics (RCNP), Mihogaoka 10-1, Ibaraki 567-0047, Japan*

³*Universidade de São Paulo, Instituto de Física, C.P. 05389-970, São Paulo, Brazil*

⁴*Department of Physics, Nara Women's University, Nara 630-8506, Japan*

(Received 26 October 2020; accepted 6 January 2021; published 25 January 2021)

- Embora estudos de hadrons com charm e bottom são de interesse central atualmente, existe escassez de dados sobre as propriedades dos nucleons.
- Estudar o espectro de nucleon é difícil porque conforme a energia cresce os estados ficam mais largos e a identificação do mesmo nos dados experimentais é um desafio.
- Existem varias questões intrigantes, como a inversão de massa de primer estado excitado de N e Λ : $N^*(1535) - \Lambda(1405)$.
- Outro exemplo é $N^*(1895)$, que é o estado com maior massa conhecida, com spin-paridade $1/2^-$. No modelo quark os estados com $1/2^-$ são $N^*(1535)$ e depois outro com massa ~2100 MeV.

ALGUNS DE NOSSOS TRABALHOS RECENTES:

PHYSICAL REVIEW D **103**, 016015 (2021)

Decay properties of $N^*(1895)$

K. P. Khemchandani,^{1,2,*} A. Martínez Torres,^{3,2,†} H. Nagahiro,^{4,2,‡} and A. Hosaka^{1,2,§}

¹*Universidade Federal de São Paulo, C.P. 01302-907, São Paulo, Brazil*

²*Research Center for Nuclear Physics (RCNP), Mihogaoka 10-1, Ibaraki 567-0047, Japan*

³*Universidade de São Paulo, Instituto de Física, C.P. 05389-970, São Paulo, Brazil*

⁴*Department of Physics, Nara Women's University, Nara 630-8506, Japan*

(Received 26 October 2020; accepted 6 January 2021; published 25 January 2021)

- Nosso analise mostra que $N^*(1895)$ é um estado gerado a partir das interações de méson bárion.
- Curiosamente a massa de $N^*(1895)$ é muito próxima ao limiar de $K\Lambda(1405)$, o decaimento $N^*(1895) \rightarrow K\Lambda(1405)$ pode ser importante.
- E pode afetar as seções de choque de $\gamma p \rightarrow K\Lambda(1405)$.

ALGUNS DE NOSSOS TRABALHOS RECENTES:

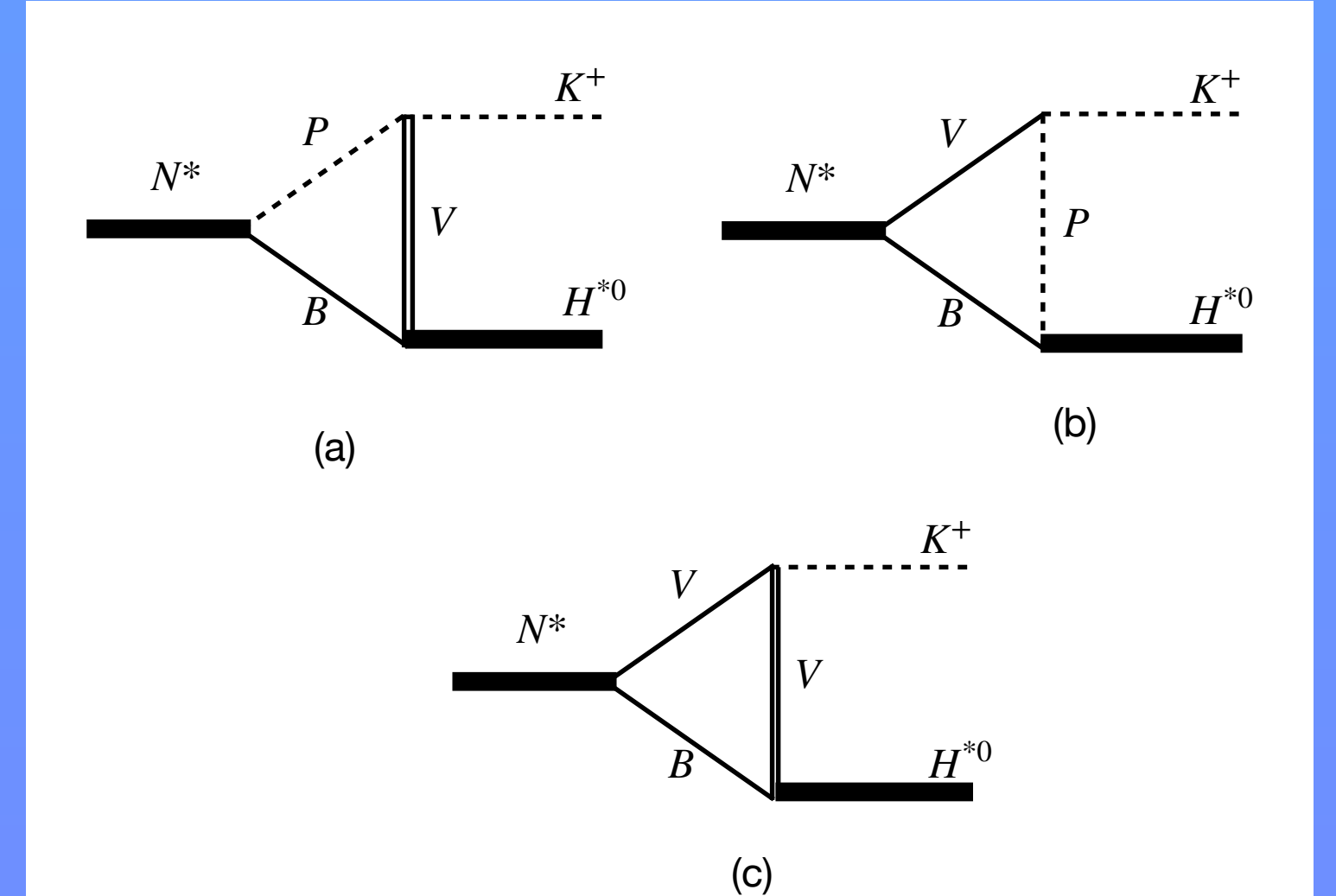
- Nos estudamos a taxa de transição para $N^*(1895) \rightarrow K\Lambda(1405)$.

- Tipos de Lagrangianas usadas:

● Chiral: $\mathcal{L}_{PB} = \langle \bar{B}i\gamma^\mu \partial_\mu B + \bar{B}i\gamma^\mu [\Gamma_\mu, B] \rangle - M_B \langle \bar{B}B \rangle + \frac{1}{2}D' \langle \bar{B}\gamma^\mu \gamma_5 \{u_\mu, B\} \rangle + \frac{1}{2}F' \langle \bar{B}\gamma^\mu \gamma_5 [u_\mu, B] \rangle$ com $u_\mu = iu^\dagger \partial_\mu U u^\dagger$,

$$\Gamma_\mu = \frac{1}{2} \left(u^\dagger \partial_\mu u + u \partial_\mu u^\dagger \right), \quad U = u^2 = \exp \left(i \frac{P}{f_P} \right); \quad D' = 0.8, \quad F' = 0.46$$

$$P = \begin{pmatrix} \pi^0 + \frac{1}{\sqrt{3}}\eta & \sqrt{2}\pi^+ & \sqrt{2}K^+ \\ \sqrt{2}\pi^- & -\pi^0 + \frac{1}{\sqrt{3}}\eta & \sqrt{2}K^0 \\ \sqrt{2}K^- & \sqrt{2}\bar{K}^0 & \frac{-2}{\sqrt{3}}\eta \end{pmatrix}, \quad B = \begin{pmatrix} \frac{1}{\sqrt{6}}\Lambda + \frac{1}{\sqrt{2}}\Sigma^0 & \Sigma^+ & p \\ \Sigma^- & \frac{1}{\sqrt{6}}\Lambda - \frac{1}{\sqrt{2}}\Sigma^0 & n \\ \Xi^- & \Xi^0 & -\sqrt{\frac{2}{3}}\Lambda \end{pmatrix}$$



ALGUNS DE NOSSOS TRABALHOS RECENTES:

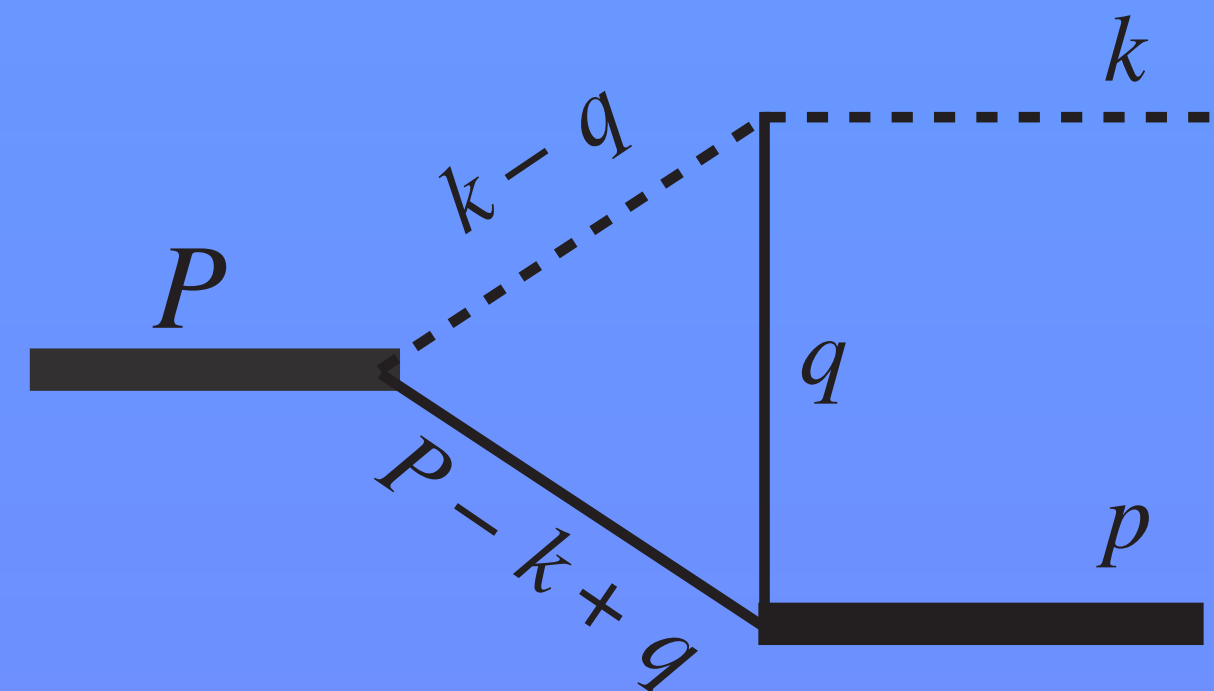
● Hidden local symmetry

$$\mathcal{L}_{\mathbf{VB}} = -g \left\{ \langle \bar{B} \gamma_\mu [V_8^\mu, B] \rangle + \langle \bar{B} \gamma_\mu B \rangle \langle V_8^\mu \rangle + \frac{1}{4M} \left(F \langle \bar{B} \sigma_{\mu\nu} [V_8^{\mu\nu}, B] \rangle + D \langle \bar{B} \sigma_{\mu\nu} \{V_8^{\mu\nu}, B\} \rangle \right) + \langle \bar{B} \gamma_\mu B \rangle \langle V_0^\mu \rangle + \frac{C_0}{4M} \langle \bar{B} \sigma_{\mu\nu} V_0^{\mu\nu} B \rangle \right\};$$

com $V^{\mu\nu} = \partial^\mu V^\nu - \partial^\nu V^\mu + ig [V^\mu, V^\nu]$; $D = 2.4$, $F = 0.82$, $C_0 = 3F - D$

$$V^\mu = \frac{1}{2} \begin{pmatrix} \rho^0 + \omega & \sqrt{2}\rho^+ & \sqrt{2}K^{*+} \\ \sqrt{2}\rho^- & -\rho^0 + \omega & \sqrt{2}K^{*0} \\ \sqrt{2}K^{*-} & \sqrt{2}\bar{K}^{*0} & \sqrt{2}\phi \end{pmatrix}^\mu$$

ALGUNS DE NOSSOS TRABALHOS RECENTES:



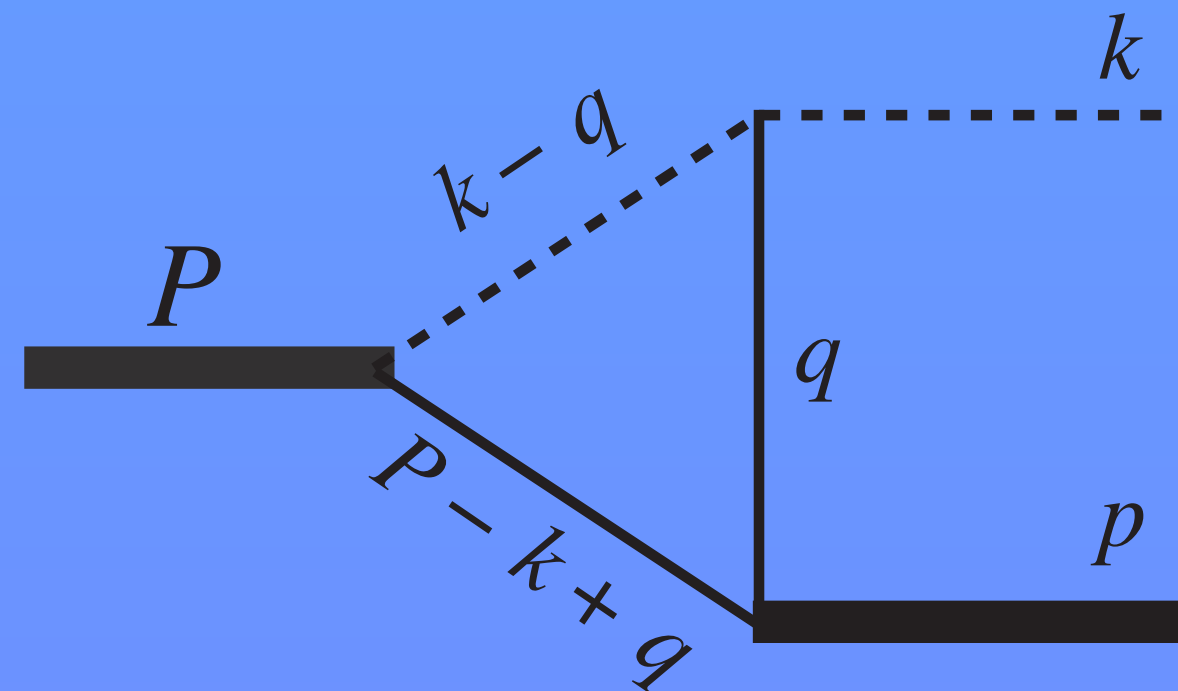
$$\begin{aligned}
 t_a = & i \sum_j g_{VBH^*,j} g_{PBN^*,j} g_{PPV} C_j \bar{u}_{H^*}(p) \gamma_\nu \gamma_5 \\
 & \times \int \frac{d^4 q}{(2\pi)^4} \left\{ \frac{(P - k + q + m_{Bj})}{(P - k + q)^2 - m_{Bj}^2 + i\epsilon} \right. \\
 & \times \frac{\left(-g^{\nu\mu} + \frac{q^\nu q^\mu}{m_{Vj}^2} \right)}{q^2 - m_{Vj}^2 + i\epsilon} \frac{(2k - q)_\mu}{(k - q)^2 - m_{Pj}^2 + i\epsilon} \left. \right\} u_{N^*}(P)
 \end{aligned}$$

$$N_a(q) = (4k \cdot p - 2p \cdot q - q^2) \bar{u}_{H^*}(p) \gamma_5 u_{N^*}(P) - 2(M_{H^*} + m_{Bj}) \bar{u}_{H^*}(p) k \gamma_5 u_{N^*}(P)$$

Numerator:

$$\begin{aligned}
 & \times (M_{H^*} + m_{Bj}) \bar{u}_{H^*}(p) q \gamma_5 u_{N^*}(P) + 2 \bar{u}_{H^*}(p) k q \gamma_5 u_{N^*}(P) + \left(\frac{2k \cdot q - q^2}{m_{Vj}^2} \right) \\
 & \times [(M_{H^*} + m_{Bj}) \bar{u}_{H^*}(p) q \gamma_5 u_{N^*}(P) - (2p \cdot q + q^2) \bar{u}_{H^*}(p) \gamma_5 u_{N^*}(P)],
 \end{aligned}$$

ALGUNS DE NOSSOS TRABALHOS RECENTES:



$$t_a = i \sum_j g_{VBH^*,j} g_{PBN^*,j} g_{PPV} \mathcal{N}_{H^*} \mathcal{N}_{N^*} C_j \int \frac{d^4 q}{(2\pi)^4} \left\{ \chi^\dagger \left(\sum_{i=0}^4 \mathcal{A}_{i,j} [q^0]^i \right) \chi \right\}$$

$$\times \frac{1}{[(P - k + q)^2 - m_{Bj}^2 + i\epsilon][q^2 - m_{vj}^2 + i\epsilon][(k - q)^2 - m_{pj}^2 + i\epsilon]},$$

$$\begin{aligned} \mathcal{A}_{0,j} = & \vec{\sigma} \cdot \vec{k} \left\{ 2(M_{H^*} + m_{Bj}) + \frac{1}{E_{H^*} + M_{H^*}} \left[2k^0(M_{H^*} + m_{Bj} + 2E_{H^*}) - 2\vec{k} \cdot \vec{q} + |\vec{q}|^2 + 4|\vec{k}|^2 \right. \right. \\ & + \left. \left. \frac{|\vec{q}|^4 + 4(\vec{k} \cdot \vec{q})^2 - 4(\vec{k} \cdot \vec{q})|\vec{q}|^2}{m_{vj}^2} \right] \right\} - \vec{\sigma} \cdot \vec{q} \left\{ (M_{H^*} + m_{Bj}) \left(1 - \frac{2\vec{k} \cdot \vec{q} - |\vec{q}|^2}{m_{vj}^2} \right) \right. \\ & \left. + 2k^0 + 2\frac{|\vec{k}|^2}{E_{H^*} + M_{H^*}} \right\}, \quad \dots \text{etc., términos até } [q^0]^4 \end{aligned}$$

Integração analítica em q^0 , e depois integração numérica

ALGUNS DE NOSSOS TRABALHOS RECENTES:

PHYSICAL REVIEW D **103**, 016015 (2021)

Decay properties of $N^*(1895)$

K. P. Khemchandani,^{1,2,*} A. Martínez Torres,^{3,2,†} H. Nagahiro,^{4,2,‡} and A. Hosaka^{2,§}

¹Universidade Federal de São Paulo, C.P. 01302-907, São Paulo, Brazil

²Research Center for Nuclear Physics (RCNP), Mihogaoka 10-1, Ibaraki 567-0047, Japan

³Universidade de São Paulo, Instituto de Física, C.P. 05389-970, São Paulo, Brazil

⁴Department of Physics, Nara Women's University, Nara 630-8506, Japan

(Received 26 October 2020; accepted 6 January 2021; published 25 January 2021)

PHYSICAL REVIEW D **103**, 114017 (2021)

Photoproduction of Λ^* and Σ^* resonances with $J^P=1/2^-$ off the proton

Sang-Ho Kim^{1,*} K. P. Khemchandani,^{2,†} A. Martínez Torres^{3,‡} Seung-il Nam,^{1,4,§} and Atsushi Hosaka^{5,6,||}

¹Department of Physics, Pukyong National University (PKNU), Busan 48513, Korea

²Universidade Federal de São Paulo, C.P. 01302-907 São Paulo, Brazil

³Universidade de São Paulo, Instituto de Física, C.P. 05389-970 São Paulo, Brazil

⁴Asia Pacific Center for Theoretical Physics (APCTP), Pohang 37673, Korea

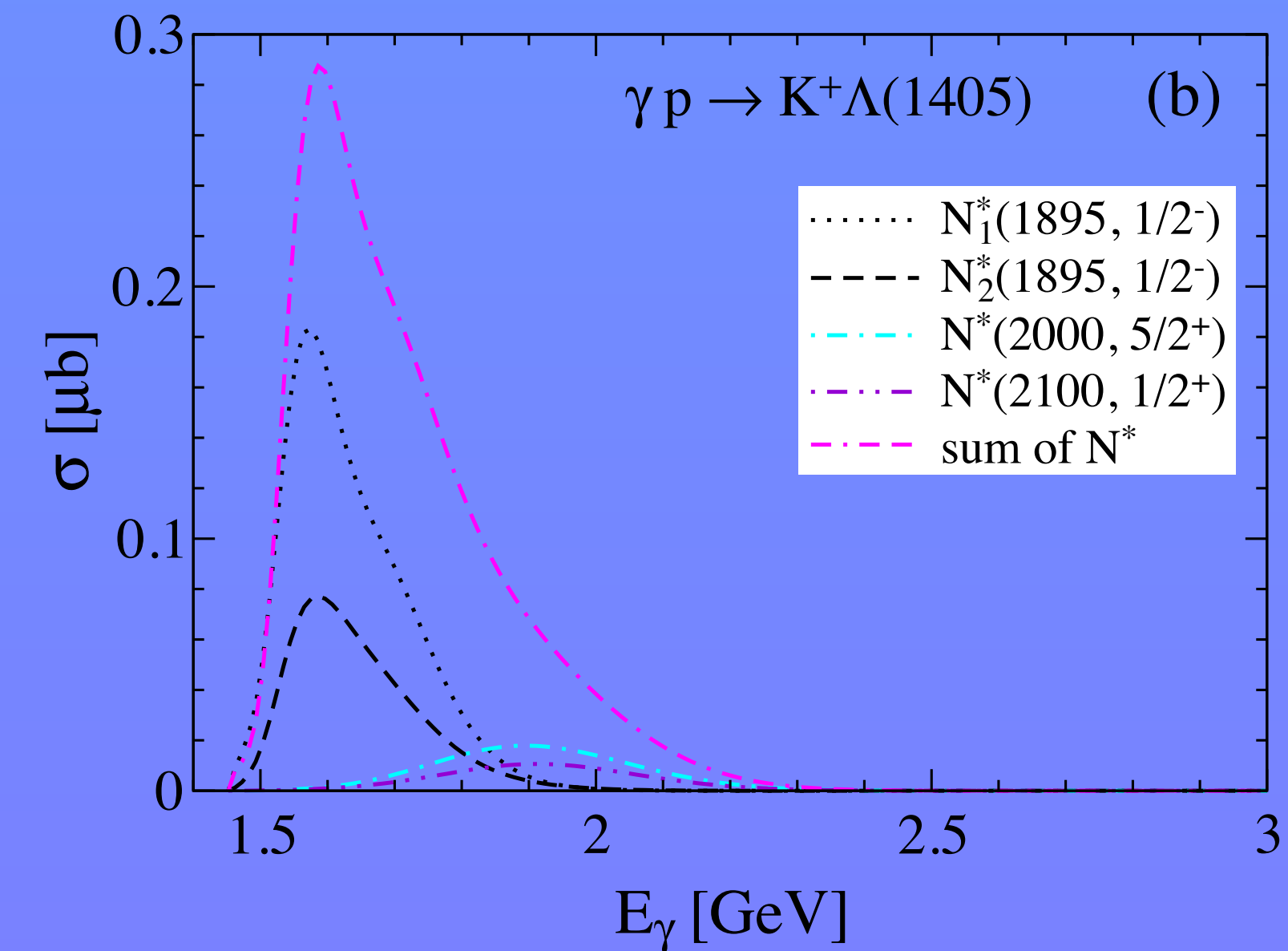
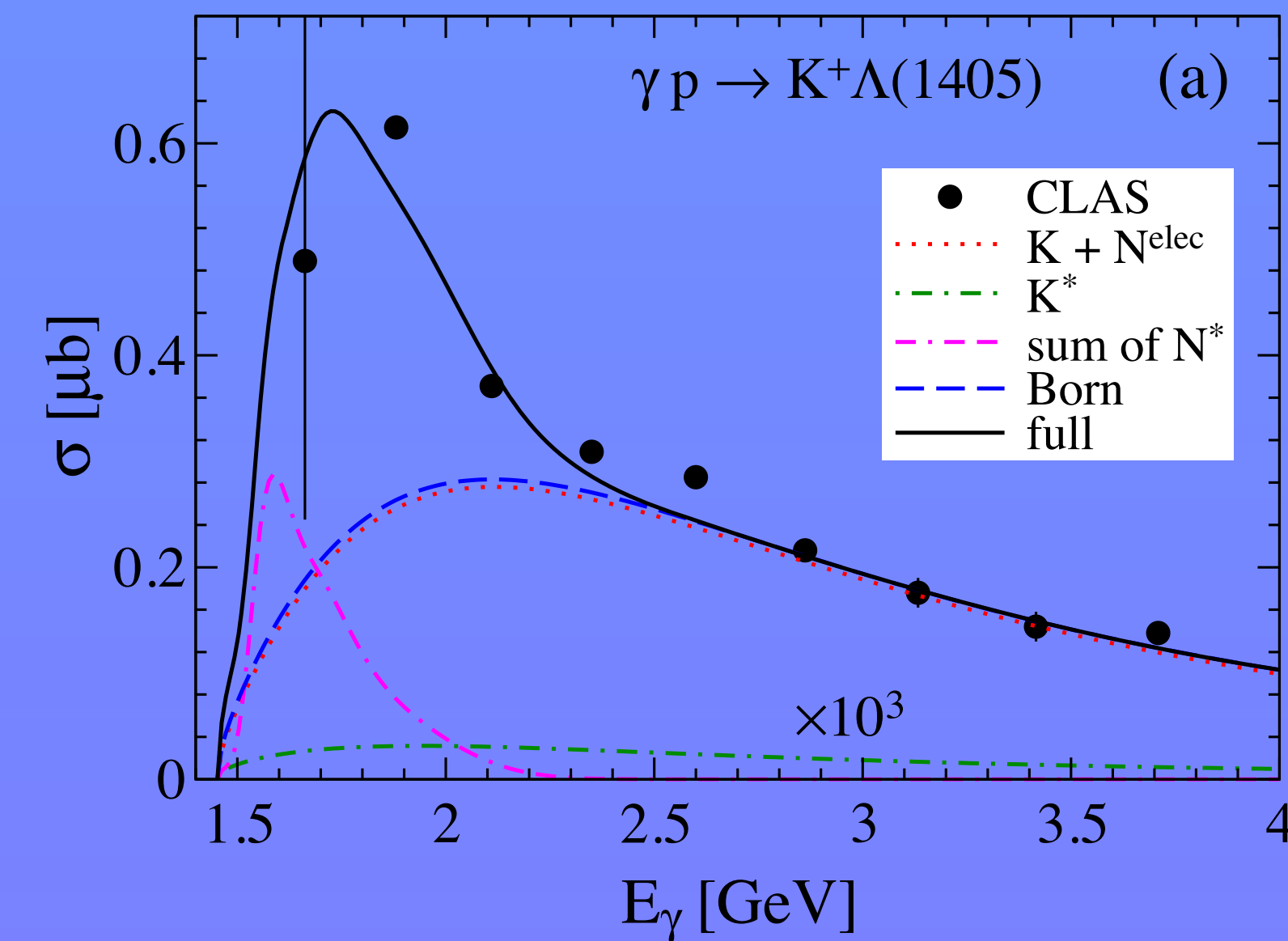
⁵Research Center for Nuclear Physics (RCNP), Osaka University, Ibaraki, Osaka 567-0047, Japan

⁶Advanced Science Research Center, Japan Atomic Energy Agency (JAEA), Tokai 319-1195, Japan

(Received 4 February 2021; accepted 26 May 2021; published 21 June 2021)

$$\Gamma_{N^*(1895) \rightarrow K^+ \Lambda(1405)} = 5.7 \pm 0.8 \text{ MeV}$$

$$\Gamma_{N^*(1895) \rightarrow K^+ \Sigma^0(1400)} = 6.3 \pm 0.2 \text{ MeV}$$



ALGUNS DE NOSSOS TRABALHOS RECENTES:

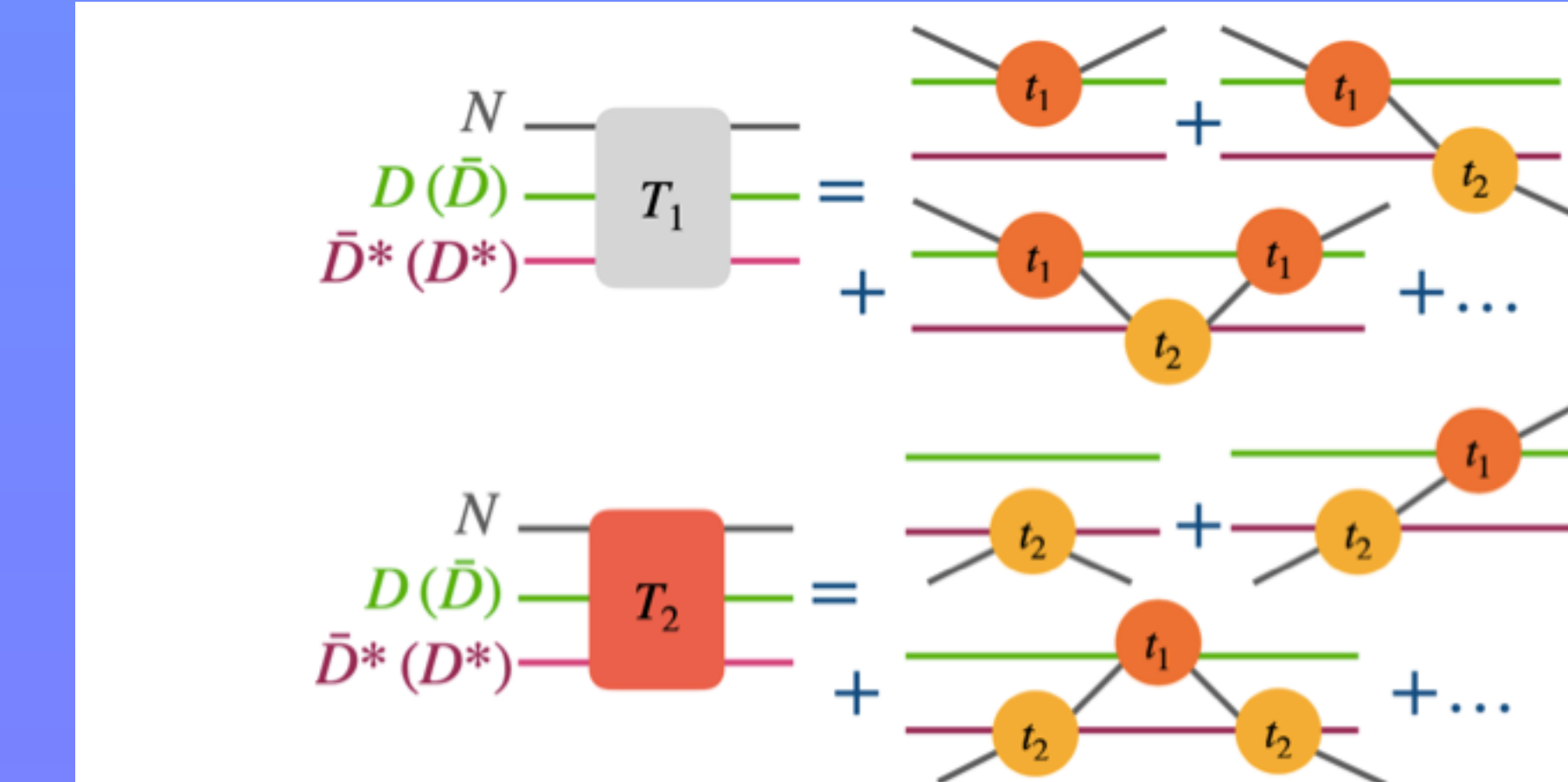
arXiv:2103.09978v1 [hep-ph]

- Os pentaquarks descobertos pelo LHCb geraram um debate continuo na comunidade.
- Vários grupos estudaram as interações de dois hadrons para tentar descrever os estados moleculares de dois hadrons, assim atribuindo sempre a paridade negativa aos estados.
- Se estados com paridade negativa existem, também devem existir estados com paridade positiva.



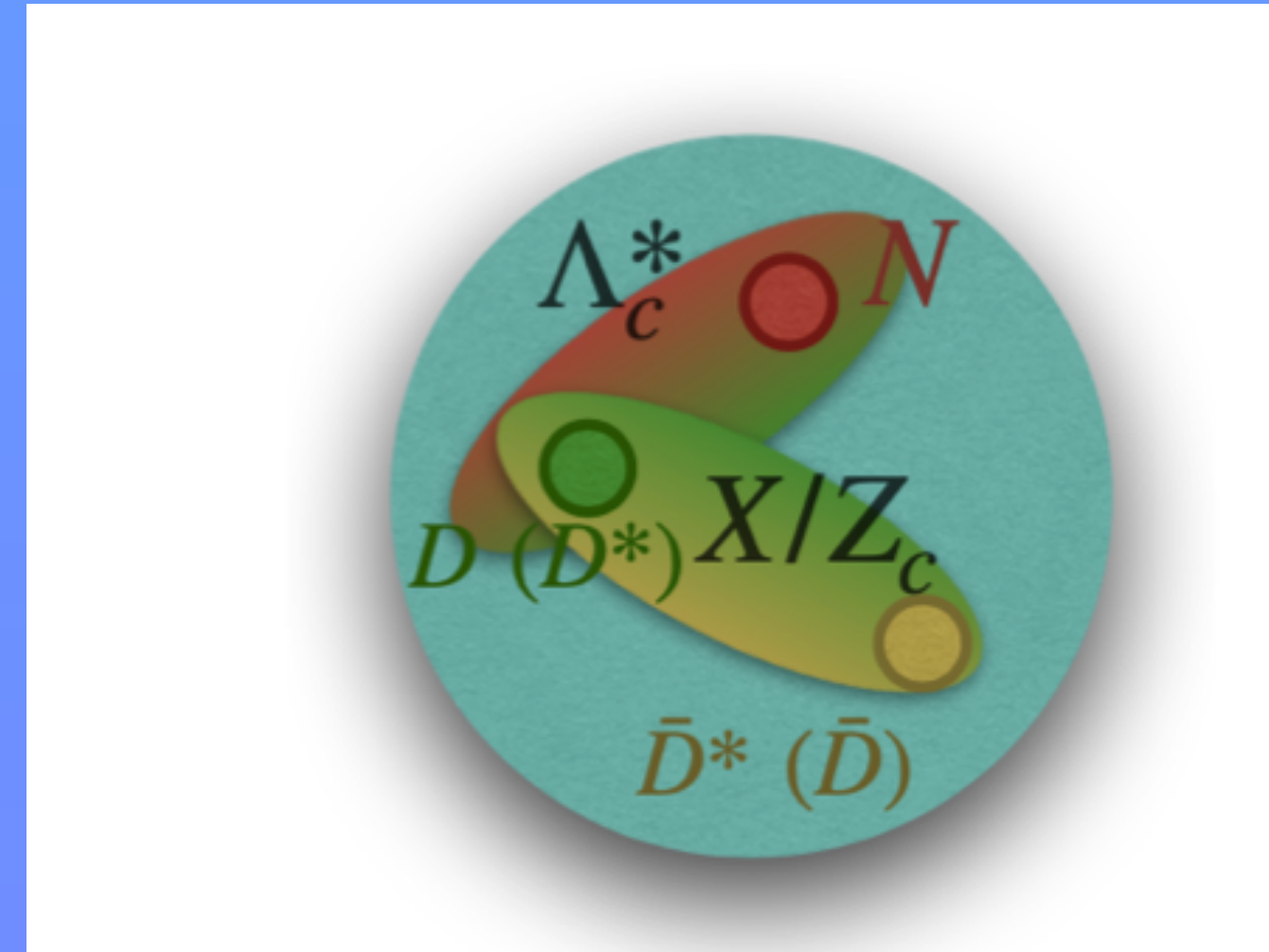
ALGUNS DE NOSSOS TRABALHOS RECENTES:

- Por exemplo, poderíamos perguntar se $X(3872) - N$ ou $Z_c(3900) - N$ podem formar estados ``ligados''.
- O limiar desses sistemas é ~ 4800 MeV.
- Nos estudamos a interação $X(3872) - N, Z_c(3900) - N$, tratando eles como canais acoplados e considerando que $X(3872), Z_c(3900)$ possuem uma estrutura interna (o nucleon espalha sobre as partículas que formam $X(3872), Z_c(3900)$)

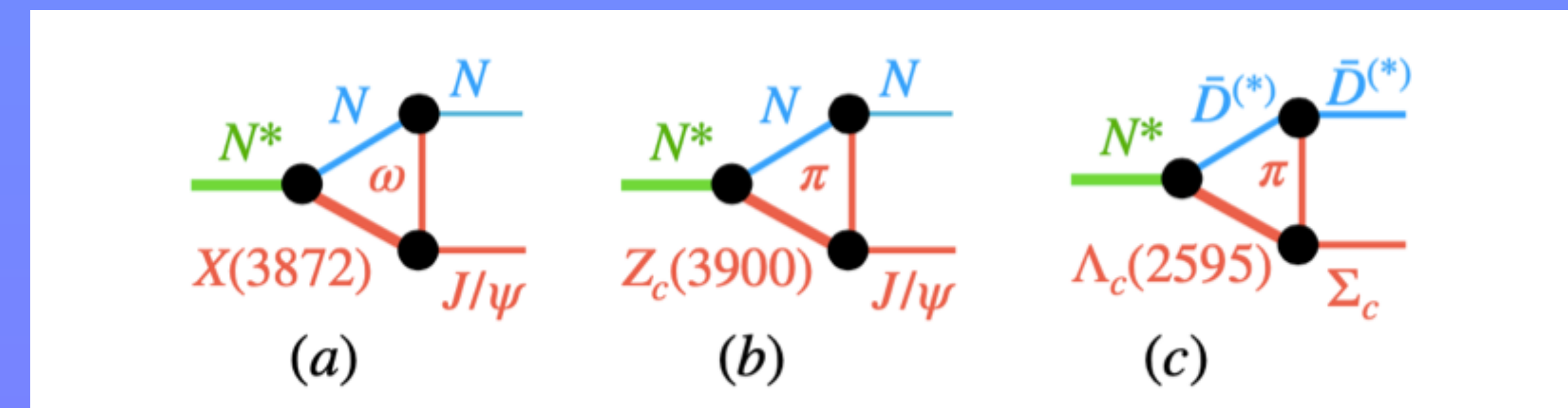


ALGUNS DE NOSSOS TRABALHOS RECENTES:

arXiv:2103.09978v1 [hep-ph]



Spin-parity	Mass (MeV)	Width (MeV)
1/2 ⁺	4404 – 4410	2
1/2 ⁺	4556 – 4560	4 – 20
3/2 ⁺	4467 – 4513	~ 3 – 6
3/2 ⁺	4558 – 4565	~ 5 – 14



RESUMO

- Existem muitas questões abertas na área de física de hadrons, particularmente em relação aos hadrons exóticos (números quânticos, qual estrutura certa desses hadrons).
- Teorias efectivas de campos são muito utilizadas para resolver uma grande variedade de problemas de física de hadrons.
- Deve existir $D(2900)$ que pode ser encontrado na massa invariante de $D_s(2317)\bar{K}$.
- A interação de nucleon com os estados exóticos $X(3872)$, $Z_c(3900)$ é atrativa e forma estados na faixa de energia estudada pela LHCb para encontrar P_c 's.
- A taxa de decaimento de $N^*(1895)$ para os hyperons leves é significante, e pode ser uma forma de distinguir ele dos outras estados próximos.